

کاربرد مدل‌سازی پیشرو و الگوریتم پردازشی مناسب در تعیین محل قنات به روش GPR

سجاد قبری^۱ و محمد کاظم حفیظی^{۲*}

^۱کارشناس ارشد ژئوالکتریک، گروه فیزیک زمین، موسسه ژئوفیزیک دانشگاه تهران، ایران

^۲استاد، گروه فیزیک زمین، موسسه ژئوفیزیک دانشگاه تهران، ایران

(تاریخ دریافت: ۹۲/۰۵/۰۹، تاریخ پذیرش: ۹۴/۱۱/۲۱)

چکیده

روش رadar نفوذی به زمین (GPR)، به دلیل توان بالای تفکیک، سرعت زیاد در برداشت داده‌ها و غیرتخربی بودن، بهترین روش نسبت به سایر روش‌های ژئوفیزیکی برای مطالعات نزدیک به سطح است. یکی از موارد مناسب برای مطالعه با این روش، تعیین محل گالری قنات‌های آب‌دار نزدیک به سطح به دلیل تباین قابل توجه ویژگی‌های الکتریکی و الکترومغناطیسی قنات آب‌دار نسبت به محیط اطراف آن است. به همین منظور، یک مطالعه دو بعدی با برداشت داده‌ها در منطقه مشکان کاشان و با استفاده از آتنی با سامد مرکزی ۲۵۰ مگاهرتز انجام پذیرفت. در رadarگرام اولیه، نشانه‌های مربوط به هدف مورد نظر به خوبی مشاهده نشد. ازین‌رو، هدف این مقاله با توجه به شرایط قنات مذکور، بر آن بوده است که ابتدا با مدل‌سازی پیشرو و سپس با اعمال پارامترهای پردازشی مناسب، تا حد امکان به اهداف موردنظر نزدیک شویم. رadarگرام مطلوب نهایی با به کارگیری پارامترهای پردازشی مانند تصحیح اشباع سیگنال، صافی‌های میان‌گذر، بهره جبران نمایی و گسترش هندسی و بردارنده زمینه، به دست آمد. خاک منطقه شامل مقادیری از ماسه، گراول و سیلت بوده و میانگین مقاومت ویژه الکتریکی آن تقریباً برابر ۲۰۰ اهم‌متر است. تحلیل سرعت سیر موج برای تعیین عمق قنات، بر اساس محاسبه مقدار میانگین سرعت امواج با توجه به جنس زمین منطقه مورد مطالعه، انجام پذیرفته است. در پایان، همخوانی مناسبی میان برونداد مدل طراحی‌شده و نتایج حاصل از تفسیر رadarگرام و شرایط واقعی زمین مشاهده شد. همچنین توانایی GPR با توجه به عمق کم هدف مورد نظر و وضوح بالای موردنیاز به خوبی به اثبات رسید.

واژه‌های کلیدی: پردازش رadarگرام، تحلیل سرعت، رadar نفوذی به زمین، قنات، مدل‌سازی پیشرو

۱ مقدمه

بهویژه اگر دارای آب نیز باشند، همواره از اهمیت بالای در ساخت و سازها و یا مطالعات پایه منابع آب مانند تخمین آبدی برخوردار بوده است. در کشور ایران، قنات‌های بسیاری در مناطق گوناگون وجود دارند که در بسیاری از موارد محل دقیق آنها مشخص نیست. از طرفی روش‌های ژئوفیزیکی محدودی برای مطالعه حفره‌های نزدیک سطح وجود دارد. در میان همه روش‌های ژئوفیزیکی به دلیل تباین بارزی که در مشخصات الکتریکی میان حفره‌های مدفون با محیط دربرگیرنده وجود داشته و همچنین با توجه به توانایی و توان تفکیک بالا در عمق‌های کم، آشکارسازی چنین اهدافی با روش GPR امکان‌پذیر است. در زمینه مطالعه قنات با روش ژئورadar، مطالعات متعددی در ایران انجام پذیرفته است. در یکی از این پژوهش‌ها، ساختارهای مدفون نزدیک سطح از جمله یک قنات و لوله‌های آب در حومه شهر شاهروود، با استفاده از روش‌های GPR و مقاومت ویژه، مطالعه و بررسی شده‌اند (محمدی ویژه و کامکار روحانی، ۱۳۸۹). در مطالعه دیگر، با انتخاب قنات به عنوان یک هدف مناسب، به بررسی نقاط ضعف و قوت روش‌های بُرش‌نگاری (تموگرافی) الکتریکی (ERT) و GPR پرداخته شده است (اسحاقی و همکاران، ۱۳۹۲). همچنین به منظور شناسایی حفره‌های زیرسطحی و بررسی لایه‌بندی، دانه‌بندی و برآورد میزان رس و رسوبات زیرسطحی کم عمق، از روش GPR و روش‌های تفسیر و پردازش آن استفاده شده است (کامکار روحانی و همکاران، ۱۳۹۱). در حالت کلی، با توجه به محدودیت‌های این روش گاهی در مقاطع به دست آمده از داده‌های رادار، هیچ‌گونه نشانه‌ای از اهداف مورد مطالعه دیده نمی‌شود. ازین‌رو اکتشاف اهداف مدفون یا ناپیوستگی‌ها به‌وسیله روش GPR، همواره به سادگی سایر ناهنجاری‌ها که بازتابنده امواج رادار هستند، نیست (رادزویوس و همکاران، ۲۰۰۰). بنابراین در این موارد به کارگیری الگوریتم پردازشی

رادار نفوذی به زمین (GPR)، یک روش ژئوفیزیکی برپایه انتشار امواج الکترومغناطیسی است که به عنوان یک روش غیرمخرب برای به تصویر درآوردن سطوح زیرزمینی به کار می‌رود (کانیز، ۲۰۰۴؛ دانیلز، ۲۰۰۴). امروزه در میان روش‌های ژئوفیزیکی، GPR توانسته است روزبه‌روز کاربردهای تازه‌ای را با موفقیت عرضه کند. از آنجایی که پردازش داده‌های GPR هنوز در دوران ابتدایی خود به سرمی‌برد، رشد و توسعه این روش در گرو پیشرفت روش‌های پردازشی و مدل‌سازی پیش‌رو برای رسیدن به نتایج مطلوب‌تر است. در این صورت، به کارگیری GPR روزبه‌روز پررونق‌تر و اقتصادی‌تر خواهد شد.

در محیط‌هایی که اهداف رسانای غیرعادی و یا مغناطیسی وجود نداشته باشد، کمیتی که منجر به آشکارسازی بی‌نهنجاری‌ها در روش GPR می‌شود، گذردهی دی‌الکتریک نام دارد (ون اورمیرن، ۱۹۹۴). این کمیت را به صورت نسبی، نسبت به گذردهی دی‌الکتریک هوا سنجیده و با نماد μ نمایش می‌دهند. اساس روش GPR بر تباین دی‌الکتریکی مواد و همچنین روابط حاکم بر گسیل امواج الکترومغناطیسی استوار است (ون اورمیرن، ۱۹۹۴). عامل تعیین‌کننده در چگونگی عبور و بازتاب امواج الکترومغناطیسی از مواد مختلف، میزان ثابت دی‌الکتریک آنها است. هرچقدر مقدار انرژی بازتابی بیشتر و تباین بیشتری در مواد روی زمین از لحاظ مقدار ثابت دی‌الکتریک وجود داشته باشد؛ وضوح بیشتری در مقاطع رادار حاصل خواهد شد (محمدی ویژه و کامکار روحانی، ۱۳۸۹).

در مطالعاتی که پیش از ساخت و ساز بناها و راه‌ها بهویژه در مورد فرودگاه‌ها و مناطق راهبردی انجام می‌گیرد، داشتن آگاهی کافی نسبت به محل دقیق حفره‌های مدفون ضروری است. اکتشاف حفره‌هایی مانند گالری قنات

مناسب شکست‌ها و گذاشتن پدیده‌ها در جای مناسب‌تر، تصویر بهتری از رخدادهای پنهان شده به نمایش گذارد. تمامی فرایند پردازش پیشرفته باید بهجا و در حد لازم صورت پذیرد و گرنه ممکن است پردازش بهحدی مقطع داده‌های رادار را ساده نماید که مفسر دچار تصوری اشتباه در مورد شرایط واقعی حاکم در زمین شود (سنسورز و سافتور، ۱۹۹۹). تفسیر داده‌های GPR را می‌توان به دو بخش عمده تفسیر کمی و تفسیر کیفی تقسیم‌بندی کرد. هدف از تفسیر کمی داده‌ها استخراج ویژگی‌های فیزیکی موردنظر از روی اطلاعات موجود در مقاطع است. این‌گونه تفسیرها بیشتر در مطالعات آلودگی آب‌های زیرزمینی، مهندسی مخازن آب و هیدرولوژیک و برشنگاری موردنوجه بوده و از این‌رو تفسیر کمی داده‌ها تا حدود زیادی به شرایط کنترل شده آزمایشگاهی محدود است. تفسیر کیفی داده‌ها که به تفسیر گرافیکی نیز معروف است بعد از به کارگیری پردازش‌های مناسب بر روی داده‌ها انجام می‌پذیرد. به این ترتیب که مقاطع زمانی به دست آمده ممکن است با استفاده از سرعت امواج در محیط زیرسطحی به مقطع عمقی تبدیل شده و یا این‌که به صورت مستقیم در دست مفسر قرار گیرند. در این نوع تفسیر، مفسر درواقع کیفیت و شکل بازتاب‌ها را نسبت به بازتاب‌های مجاور تشخیص داده و با توجه به ویژگی این بازتاب‌ها از جمله پیوستگی، بزرگی و گسترش آنها، این رویدادها را از یکدیگر تفکیک می‌کند (سنسورز و سافتور، ۱۹۹۹).

در این پژوهش، ابتدا با مدل‌سازی پیشرو و طراحی مدل براساس شرایط مورد انتظار مطالعه، رفتار امواج الکترومغناطیسی و پاسخ محیط را بررسی و سپس با تفسیر کیفی مقطع به دست آمده از برداشت داده‌های GPR، نتایج به دست آمده را با شرایط واقعی زمین مقایسه خواهیم کرد.

مناسب بسیار مفید خواهد بود. برای آزمودن توانایی روش GPR، در مطالعات این چنینی، لازم است علاوه بر برداشت و تفسیر داده‌های واقعی، براساس شرایط حاکم بر قناتی که ویژگی‌های آن معلوم است، یک مدل طراحی و اجرا شود. آنچه در این پژوهش نسبت به سایر مطالعات مشابه است، انجام پذیرفته پیشین در ایران بارزتر است، بهره‌گیری از مزایای مدل‌سازی پیشرو در روش GPR و مقایسه نتایج حاصل از آن با داده‌های واقعی است. در مدل‌سازی سعی بر آن است تا از بازتاب امواج دریافت شده از زیر زمین که بهدلیل انتشار امواج الکترومغناطیسی حاصل شده، بهترین شبیه‌سازی از بی‌هنجری زیرسطحی انجام شود. در پردازش مقاطع GPR، مراحل ابتدایی پردازش شامل آماده‌سازی و مرتب کردن داده‌ها بر اساس فواصل مکانی و سایر ملزمات ویرایش ابتدایی مانند تصحیح صفر زمان‌رسیدها و تصحیح طول رادارگرام است. از آنجایی که بسامدهای خیلی کم بیانگر پدیده‌های القایی و یا محدودیت‌های برد پویا در هنگام استفاده از دستگاه‌هاست، پردازش پایه‌ای، بهره‌گیری از یک صافی بالاگذر زمانی برای حذف داده‌های برداشت شده در بسامدهای بسیار پایین است. مرحله بعد، شامل به کارگیری بهره‌زمانی صحیح و استفاده ترکیبی از صافی‌های زمانی و مکانی مناسب است (سنسورز و سافتور، ۱۹۹۹).

استفاده از صافی‌ها می‌تواند پیش یا پس از اعمال بهره زمانی، البته با معلوم بودن چگونگی اثر بهره زمانی انجام گیرد؛ چراکه برخی از مراحل یادشده، ماهیتی غیرخطی داشته و نمی‌توان اثر ترتیب اجرای مراحل مختلف را نادیده گرفت. پردازش پیشرفته داده‌ها به آن دسته از عملیات پردازشی اطلاق می‌شود که در آن کاربر به دنبال متمایز نمودن هدف مورد جستجو در مقاطع داده‌ها برای به دست آوردن تصویر واضح‌تری از بی‌هنجری‌های موردنظر است. مثلاً کوچ بهسادگی می‌تواند با حذف

ϵ_{1r} و ϵ_{2r} به ترتیب گذردهی نسبی محیط‌های یک و دو نسبت به گذردهی مطلق هوا هستند. محیط‌های موجود در این مطالعه، شامل یک لایه سطحی با ضخامت نسبتاً کم از خاک خشک، سپس یک لایه از خاک مرطوب و درنهایت محدوده هوای بالای گالری و آب شیرین قنات است. ناحیه بالای گالری به دلیل خاصیت مویینگی آب، یک لایه محدود با خاک غیراشباع است. همچنین ناحیه زیر گالری را می‌توان به عنوان یک لایه محدود از خاک در نظر گرفت که آب به میزان قابل توجهی در آن نفوذ کرده است. با توجه به محیط‌های گفته شده، طبق رابطه (۶)، می‌توان به ضرایب بازتاب زیر برای مرز مشترک هر محیط دست یافت (جدول ۱).

جدول ۱. ضریب بازتاب در مرز محیط‌های مختلف با توجه به ضریب دی‌الکتریک هر محیط (زنگ و مک‌مگان، ۱۹۹۷).

ضریب بازتاب	ϵ_{2r}	ϵ_{1r}	فصل مشترک دو محیط
-۰/۵۰	۹	۱	هوا - خاک خشک
-۰/۳۳	۱۶	۴	خاک خشک - خاک مرطوب
+۰/۶۰	۱	۱۶	خاک مرطوب - هوا
-۰/۸۰	۸۱	۱	هوا - آب شیرین
+۰/۳۰	۲۵	۸۱	آب شیرین - خاک اشباع

با توجه به مقادیر جدول فوق که بر اساس شرایط واقعی هریک از محیط‌ها در نظر گرفته شده است؛ قدر مطلق ضریب بازتاب برای مرزهای خاک-هوا و هوا-آب از سایر مرزها بیشتر است. هرگاه ضریب بازتاب منفی باشد، بدان معناست که قطبش موج بازتابی تغییر خواهد کرد. به‌حال هرچقدر قدر مطلق این ضریب بیشتر باشد موج بازتابی دامنه بیشتری خواهد داشت. اگرچه آب شیرین و هوا محیط‌های کم‌اتلافی برای امواج ژئورadar به حساب می‌آیند (دیویس و انان، ۱۹۸۹) و همچنین با درنظر گرفتن اختلاف بالای مقادیر دی‌الکتریک میان هوا و آب، انتظار می‌رود سطح آب به عنوان یک بازتابنده قوی در

۲ روش پژوهش

اگر σ رسانندگی الکتریکی ویژه محیط، ϵ ثابت دی‌الکتریک و μ تراوایی مغناطیسی باشد، برای بیشتر کاربردهای GPR، فرض ثابت بودن شکل نرده‌ای کمیت‌های فوق کافی است. این فرض برای σ و ϵ از اهمیت بیشتری برخوردار است (نیل، ۲۰۰۴). همچنین اگر برخورد موج به فصل مشترک دو محیط به صورت عمودی باشد، ضرایب بازتاب (R) و عبور (T) به ترتیب با روابط زیر بیان می‌شوند (پاراسنیس، ۱۹۹۷) :

$$R = \frac{Z_2 - Z_1}{Z_1 + Z_2}, \quad (1)$$

$$T = \frac{2Z_1}{Z_1 + Z_2}, \quad (2)$$

که Z_1 و Z_2 ، رهندی (امپانس) موج الکترومغناطیسی در دو محیط مختلف بوده و با روابط زیر بر حسب ویژگی‌های فیزیکی محیط تعریف می‌شوند و Z_0 ، رهندی موج برای خلا و با تقریب خوبی برای هوا است:

$$Z = \sqrt{\frac{\mu}{\epsilon}} = \frac{Z_0}{\sqrt{k}} = \frac{\omega\mu}{k}, \quad (3)$$

$$k = (\omega^2 \epsilon \mu + i \omega \mu \sigma)^{\frac{1}{2}}. \quad (4)$$

واضح است که در حالت آرمانی، یعنی بدون در نظر گرفتن پدیده جذب و میرایی، خواهیم داشت:

$$R + T = 1. \quad (5)$$

با فرض عمودی بودن برخورد موج به فصل مشترک دو محیط و همچنین نامغناطیسی و نارسانا بودن محیط‌ها، آنگاه ضریب بازتاب با رابطه زیر بیان می‌شود (انان، ۲۰۰۱) :

$$R = \frac{\sqrt{\epsilon_{1r}} - \sqrt{\epsilon_{2r}}}{\sqrt{\epsilon_{1r}} + \sqrt{\epsilon_{2r}}}. \quad (6)$$

برای تبدیل زمان‌رسید امواج به عمق باید سرعت سیر امواج را به دست آوریم. سرعت امواج در محیط‌های زیرسطحی با رابطه زیر محاسبه می‌شود (نیل، ۲۰۰۴):

$$V = \frac{C_0}{\sqrt{\frac{\epsilon_r \mu_r}{2} + \sqrt{1 + \left(\frac{\sigma}{\epsilon \omega}\right)}}}, \quad (7)$$

که C_0 سرعت امواج در هوا، ϵ کتریکی ویژه محیط، μ نشان‌دهنده تراوایی مغناطیسی نسبی، σ گذرهای نسبی محیط نسبت به هوا، و ω بسامد زاویه‌ای امواج GPR است. در خاک‌هایی که رسانندگی بالایی ندارند، می‌توان از عامل $(\frac{\sigma}{\epsilon \omega})$ که به عامل تضعیف مشهور است، چشم پوشید (رینولدز، ۱۹۹۷). روش‌های گوناگونی برای محاسبه سرعت سیر امواج رادار وجود دارد. به عنوان مثال، سرعت سیر امواج در سطوح زیر زمین را می‌توان از روی هذلولی‌های پراش به دست آورد (خایدکف و همکاران، ۲۰۰۴). از آنجایی که گالری قنات نزدیک به سطح است، مسیر عبوری امواج گسیلی از آتن در لایه‌های سطحی و در عمق‌های کمتر از یک متر خواهد بود. به همین سبب روشی که در این پژوهش به کار گرفته شد، بهره‌گیری از مقدار میانگین سرعت سیر امواج با توجه به نوع خاک منطقه مورد مطالعه است. خاک منطقه، خاکی مخلوط از ماسه با مقداری گراول و سیلت بوده و مقدار میانگین رسانندگی کتریکی اندازه گیری شده در آزمایشگاه برابر با 0.005 D زیمنس بر متر است. با درنظر گرفتن مقدار میانگین گذرهای کتریکی به دست آمده از روش خازنی در آزمایشگاه، که مقداری نزدیک به 10 D است و با درنظر گرفتن غیرمغناطیسی بودن خاک که فرض صحیحی است، طبق رابطه (7)، سرعت سیر امواج به دست آمده برابر با مقدار تقریبی 0.09 m/s بر

رادار گرام به خوبی مشخص گردد؛ اما امواج گسیل شده از آتن، به مرز هوا-خاک سطح زمین برخورد کرده و پس از بازتاب نسبتاً شدید، قسمتی از امواج به درون زمین نفوذ می‌کند؛ سپس امواج نفوذی پس از عبور از لایه‌های خاک به مرز خاک-هوای بالای گالری قنات برخورد کرده و دوباره به امواج عبوری و بازتابی تقسیم می‌شود. درنهایت امواج عبوری به سطح آب شیرین برخورد کرده و بازتاب می‌کند و دوباره به سطح هوا از قنات خاک رسیده و تقسیم می‌شود. اما پس از بازتاب‌های متواتی، موجی از سطح آب به گیرنده می‌رسد که دامنه بسیار کمتری نسبت به موج اولیه گسیل شده دارد. ازین رو مرز هوا-آب به راحتی قابل مشاهده نخواهد بود. از تحلیل دامنه امواج بازتابی و پیش‌بینی توان سیگنال‌های دریافتی، نتیجه می‌شود که در رادار گرام نهایی، مرز خاک-هوای قنات، نشانه بارز حضور گالری قنات خواهد بود.

انرژی بازتاب شده که به آتن گیرنده می‌رسد، حاصل برخورد امواج الکترومغناطیسی به یک نقطه خاص نیست. این انرژی از سطح مشخصی از بازتاب کننده به گیرنده رسیده است. توان تفکیک افقی با این پارامتر کنترل می‌شود؛ به گونه‌ای که برای بسامدهای بالاتر توان تفکیک افقی افزایش می‌یابد. همچنین بهترین توان تفکیک قائم ثبت شده در موارد کم اتلاف مانند ماسه‌های خشک با استفاده از آتن‌های بسامد بالا بین 2 تا 8 s/m بوده و در حالت کلی با 0.25 m طول امواج تخمین زده می‌شود (نیل، ۲۰۰۴). اگر گسترش جانبی بازتاب کننده‌ای کوچک‌تر از حد تفکیک باشد، شکل آن به خوبی روی مقطع زمانی دیده نشده و پدیده پراش رخ خواهد داد (پاراسینس، ۱۹۹۷). اما در این مطالعه، گالری قنات به عنوان هدف مورد نظر، دارای قطری بیشتر از 0.5 m است. درنتیجه انتظار می‌رود که نیمه بالای گالری به صورت یک خمیدگی شبیه هذلولی در مقطع نهایی پدیدار گردد.

پدیده انتشار امواج الکترومغناطیسی در محیط و سطوح نزدیک به سطح زمین از معادلات ماکسول تعیت می‌کند (نیقیان، ۱۹۹۱):

$$\begin{aligned} \nabla \times H(r,t) &= J(r,t) + \frac{\partial D(r,t)}{\partial t} \\ &= J_s(r,t) + \varepsilon(r) \frac{\partial E(r,t)}{\partial t} + \sigma(r) E(r,t), \\ \nabla \times E(r,t) &= -\frac{\partial B(r,t)}{\partial t} = -\mu(r) \frac{\partial H(r,t)}{\partial t}, \end{aligned} \quad (8)$$

که H شدت میدان مغناطیسی ($\frac{A}{m}$)، J چگالی جریان الکتریکی کل ($\frac{A}{m^2}$)، E شدت میدان الکتریکی ($\frac{V}{m}$)، B میدان القای مغناطیسی ($\frac{wb}{m^2}$)، D جابه‌جایی الکتریکی ($\frac{c}{m^2}$)، J_s چگالی جریان منع الکتریکی است. کمیت‌های برداری در معادلات بالا تابع زمان و فضا هستند. فرض می‌شود که کمیت‌های σ ، ϵ ، μ در هر زمان، دما و فشاری ثابت باشند، اما ممکن است رفتارها و مقادیر گوناگون در محیط‌های مختلف داشته باشند. با اندک محاسبات جبری و فرض نبودن بار آزاد و همچنین مواد فرومغناطیس در محیط و معرفی ضربی (فاکتور) کیفیت (Q) براساس $(Q = (\tan \delta)^{-1} = (\sigma / \omega \epsilon)^{-1})$ (ون‌هیل، ۱۹۵۴) و رابطه $c = 1 / \sqrt{(\mu \epsilon)}$ برای سرعت نور بر حسب ϵ و μ ، رابطه زیر بدست می‌آید:

$$\begin{aligned} \frac{\partial^2 E}{\partial^2 x} + \frac{\partial^2 E}{\partial^2 z} &= \\ \frac{1}{c^2} \frac{\partial^2 E}{\partial t^2} + \frac{2\pi f \tan \delta}{c^2} \frac{\partial E}{\partial t} + \frac{1}{\epsilon c^2} \frac{\partial J_s}{\partial t} &, \end{aligned} \quad (9)$$

که f بسامد موج الکترومغناطیسی و $\omega = 2\pi f$ است. طبق روشی که چن و هوآنگ (۱۹۹۸) به کار گرفته‌اند، رابطه (۹) برای استخراج معادله تفاضل متناهی براساس عملگرهای تعیین‌کننده مشتقات جزئی استفاده شده و مدل بر پایه یک

نانوثانیه خواهد بود که در تبدیل زمان رسید موج به عمق اعمال خواهد شد.

۱-۲ مدل‌سازی

برای اهداف مختلف، پاسخ سامانه GPR باید با یکی از روش‌های مدل‌سازی عددی شبیه‌سازی شود تا موجب شناخت رفتار مدل‌های مختلف شده و زمینه وارون‌سازی صحیح داده‌های GPR را در کاربردهای عملی فراهم آورد. روش‌های مختلفی برای مدل‌سازی GPR وجود دارد (رجوع کنید به بانو، ۱۹۹۶؛ چن و هانگ، ۱۹۹۸؛ بیتری و گرنجین، ۱۹۹۸؛ و آرت و کنوسن، ۲۰۰۴). اگرچه در روش‌شناسی با یکدیگر متفاوت‌تند، اما در همه این روش‌ها انتشار و بازتاب امواج GPR در درون زمین، بر اساس رفتار امواج الکترومغناطیسی و برهمنکش آنها با مواد زیرسطحی شبیه‌سازی می‌شود. روش تفاضل متناهی به خاطر دارا بودن مزیت‌هایی نظیر سادگی نسبی مفاهیم، انعطاف‌پذیری، قابلیت شبیه‌سازی و مدل‌سازی محیط‌های پیچیده و قابل قبول بودن پاسخ‌های آن در موارد به کاررفته، به نسبت سایر روش‌های عددی، مقبولیت و کاربرد بیشتری دارد. همچنین روش تفاضل متناهی در حوزه زمان (FDTD) می‌تواند خواص سطح زیرین را با دقت بیشتری مدل‌سازی کند. این روش اجازه می‌دهد تا کاربر محیط‌های کاملاً پیچیده حاصل از انتشار امواج GPR را شبیه‌سازی کند و با استفاده از این مدل‌سازی اطلاعات نسبتاً دقیق‌تری در هنگام تفسیر داده‌های واقعی استخراج کند (آرت و نوسن، ۲۰۰۴). به طور معمول، برای مدل‌سازی امواج منتشر شده، پدیده‌ها و لایه‌های زیرزمین به قسمت‌های مکعب شکلی تقسیم می‌شود که به آن شبکه یاخته‌ای متعامد گفته می‌شود. برای هر یاخته، شدت میدان‌های الکتریکی و مغناطیسی به وسیله مؤلفه‌های قائم و افقی میدان‌های یکنواخت الکترومغناطیسی تعیین می‌شود (ترانیس، ۲۰۱۰).

شکل ۱ نحوه انتشار موج الکترومغناطیسی را براساس تغییرات میدان الکتریکی در دو راستای x و z ، برای اجرای الگوریتم نمایش می‌دهد. در این روش، گسته‌سازی سامانه مهم‌ترین نقش را ایفا می‌کند. علاوه بر قرار گرفتن فرضی تغییرات میدان الکتریکی در وسط اضلاع شبکه، درواقع تمامی یاخته‌های تعریف شده در این روش باید در مرکز مکعب خود قرار گیرند، تا از بروز اختلالات جزئی و بعض‌اً بزرگ جلوگیری شود (بانو، ۱۹۹۶). درواقع با اعمال این شرط، خروجی مطمئن‌تری تولید می‌شود. حال فرمولبندی صریح تفاضل متناهی مرتبه چهارم بر اساس روابط زیر تعریف و اجرا می‌شود:

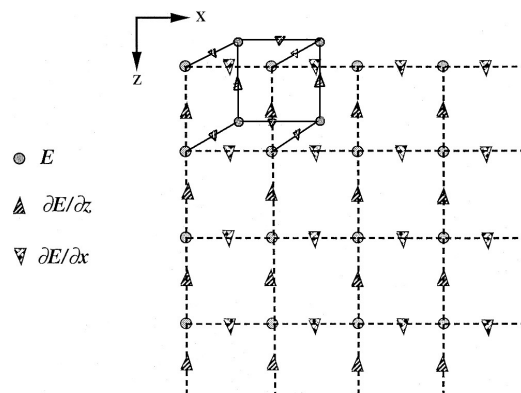
$$E(i,j,t+1) = \frac{1}{1+A} \left\{ C_0 \left[\begin{array}{l} -\frac{1}{12} \left(E(i+2,j,t) + E(i-2,j,t) \right) \\ + E(i,j+2,t) + E(i,j-2,t) \end{array} \right] + \frac{4}{3} \left[\begin{array}{l} \left(E(i+1,j,t) + E(i-1,j,t) \right) \\ + E(i,j+1,t) + E(i,j-1,t) \end{array} \right] + \left[\begin{array}{l} 2E(i,j,t) - E(i,j,t-1) \\ + \left(A - \frac{20}{3} \right) E(i,j,t) \end{array} \right] \right\}, \quad (10)$$

که $C_0 = \frac{(c^2 \Delta t)^2}{\Delta h^2}$ ، Δt و Δh به ترتیب مقادیر گام زمانی و فاصله مکانی بین گره‌ها در شبکه هستند و $A = 2\pi\Delta tf \tan\delta$ است. در ضمن اندیس‌های i ، j و t نشان‌دهنده مختصات در راستاهای x ، y و z و زمان هستند. آلفورد و همکاران (۱۹۷۴) نشان دادند که شرایط پایداری و کارایی مشتقات مکانی مرتبه چهارم و مشتقات زمانی مرتبه دوم تفاضل متناهی به صورت زیر است:

$$\Delta t \leq \sqrt{\frac{3}{8}} \Delta h / V_{\max}, \quad (11)$$

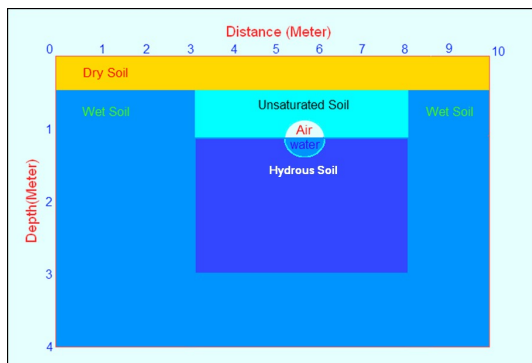
که V_{\max} سرعت پیشینه موج در ماده است. همچنین به منظور اجتناب از پاشش عددی، فاصله شبکه‌ای Δh ، نباید بیشتر از یک‌دهم کوچک‌ترین طول موج سیگنال

توری یا شبکه با فواصل Δh تعریف می‌شود. به هریک از نقاط شبکه مقادیر پارامترهای فیزیکی مانند نفوذپذیری دی الکتریکی یا رسانندگی الکتریکی نسبت داده می‌شود. همچنین مشتقات مکانی به وسیله عبارات تفاضل متناهی با دقت مرتبه چهارم و مشتقات زمانی توسط عبارت‌های $\partial E/\partial z$ و $\partial E/\partial x$ این مطالعه، مدل‌سازی عددی تفاضل متناهی روابط مُد میدان مغناطیسی عرضی امواج الکترومغناطیسی (TM) برای (Transverse Magnetic) در یک شبکه غیر هم‌مبدأ (Staggered Grid) که در آن مؤلفه‌های میدان در وسط فاصله میان هردو گره یا نقطه شبکه متواالی قرار می‌گیرند، انجام گرفته است. اکنون اگر از آهنگ تغییرات زمانی منبع الکتریکی برای شبیه‌سازی پراکندگی سیگنال‌های آتن GPR استفاده شود، برای یک گام زمانی ثابت، میدان سه‌بعدی الکترومغناطیسی با محاسبه مرحله‌به‌مرحله توسط هر یک از میدان‌های متناوب E و H که برای هر تک یاخته در هر فرآخوانی محاسبه می‌شود، به دست می‌آید. این رویه برای آهنگ‌های بعدی نیز تکرار شده که درنهایت انتشار امواج الکترومغناطیسی وابسته به زمان در سراسر حجم مدل مفروض نتیجه می‌شود.



شکل ۱. چگونگی یاخته‌بندی مکعبی محیط دوی بعدی بر اساس تغییرات میدان الکتریکی و انتشار موج الکترومغناطیسی در دو راستای x و z (جن و هوانگ، ۱۹۹۸).

تعریف شده است. مهم‌ترین پارامتر فیزیکی تأثیرگذار، کمیت گذردهی دیالکتریک بوده که مقادیر آن در هر لایه در جدول ۱ آورده شده است. مقدار تراوایی مغناطیسی نیز در زمین‌های معمولی و بدون رسانندگی بالا، برابر با تراوایی در خلا و $4\pi \times 10^{-7}$ است. سپس دو سطح مقطع به شکل نیم‌دایره منطبق بر ویژگی‌های گالری قنات، که نیم‌دایره‌های بالایی و پایینی به ترتیب با توجه به کمیت‌های فیزیکی هوا و آب تعریف شده است، در عمق تقریبی یک متر واقع گردید. مقدار گذردهی نسبی الکتریکی برای هوا و آب به ترتیب ۱ و ۸۱ است. همچنین مناطق محتوی آب در ناحیه زیر گالری و منطقه‌ای از خاک مرطوب در بالای قنات در نظر گرفته شده است. با توجه به آتن به کار گرفته شده در این مطالعه و عمق نفوذ نسبتاً کم آن، انتظار می‌رود در اعمق بیشتر از ۱/۵ متر، امواج رادار دچار میرایی شدید شوند. در این صورت در اعمق بیشتر هیچ‌گونه سیگنالی دریافت نخواهیم کرد. اما برای محدود نبودن مدل به عمق مذکور، بیشینه عمق نفوذ موج تا چهار متر اعمال گردیده و همچنین فاصله موج نمونه‌برداری زمانی و مکانی به ترتیب مقادیر ۱/۱۵ و ۰/۰۳ متر در نظر گرفته شده است



شکل ۲. آرایش لایه‌ها و نواحی مورد انتظار در مدل طراحی شده برای مدل‌سازی پیشرو.

شکل ۳ برونداد مدل طراحی شده بر اساس اطلاعات بیان شده فوق را نشان می‌دهد. از آنجایی که پدیده میرایی

ارسالی و یا یک‌پنجم نسبت سرعت کمینه به بسامد بیشینه باشد. به عبارتی:

$$\Delta h \leq 0.2(V_{\min} / f_{\max}) , \quad (12)$$

که f_{\max} نشان‌دهنده بیشینه بسامد موج ارسالی است. تپی (پالسی) که در شبکه سیرمی کند، به عنوان یک موجک ریکر (Ricker) در نظر گرفته شده و با تابع زیر تعریف می‌شود:

$$J_s(t) = \sqrt{\frac{e}{2\theta}} , \quad (13)$$

که θ ثابت زمانی قله به قله (peak to peak) برای $J_s(t)$ و عامل $\sqrt{\frac{e}{2\theta}}$ ، برای بهنجار کردن بیشینه دامنه (t) به مقدار واحد و e عدد نپر است. شرایط مرزی در این مدل به صورت ترکیبی از مرزهای بدون بازتاب و بدون جذب در نظر گرفته شده که اصطلاحاً ABC نامیده می‌شود. درنهایت، با محاسبه الگوریتم با تعداد تکرار کافی، می‌توان مدل به دست آمده از این روش را به منابع بی‌هنگاری نسبت داد. آنچه در این مطالعه اهمیت دارد، پیاده کردن تمامی موارد فوق براساس شرایط پیچیده یک قنات دارای آب نزدیک به سطح و نواحی اطراف گالری قنات است. اکنون در طراحی مدل به کمک نرم‌افزار Reflexw Project، براساس شرایط هدف مطالعه، لایه‌ها و نواحی مختلف تعریف شده و مقادیر میانگین کمیت‌های فیزیکی به هر لایه یا پدیده مدنظر نسبت داده می‌شود. شکل ۲ تصویر طرحواره‌ای از آرایش لایه‌ها و قنات موردنظر در مدل‌سازی را نشان می‌دهد. همان‌گونه که در این شکل مشاهده می‌شود، ابتدا یک لایه کم‌ضخامت از خاک سطحی خشک و سپس یک لایه خاک مرطوب با ضخامت نسبی بیشتر تا عمق تقریبی دو متر در نظر گرفته و مقادیر کمیت‌های فیزیکی مربوط به هر لایه

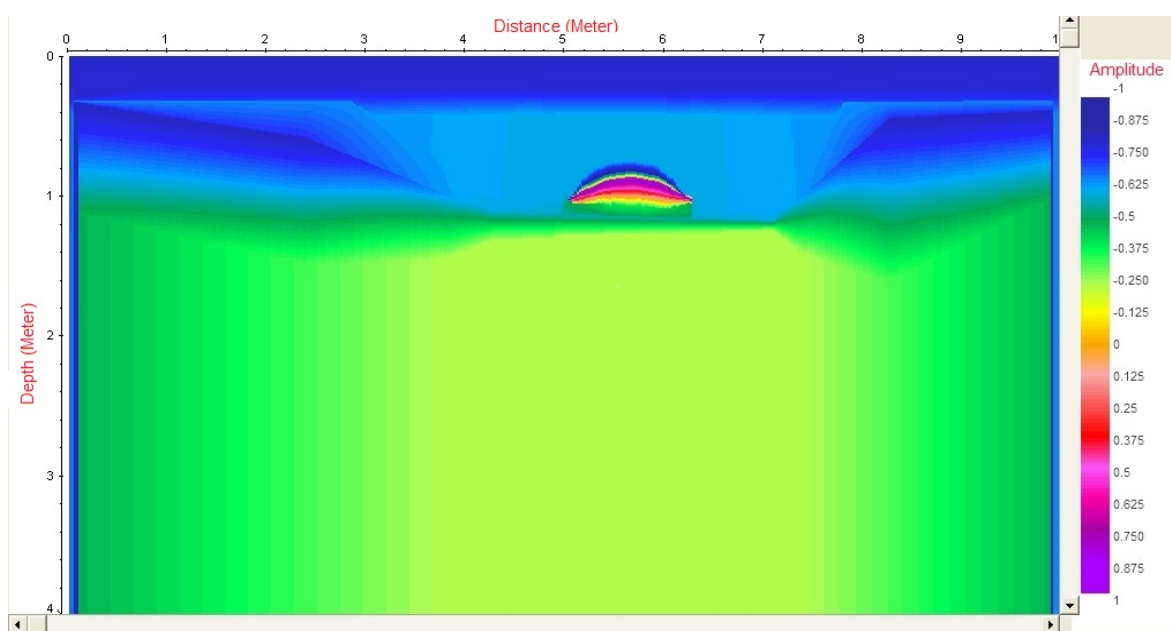
شد، موج بازتابی از این مرز حتی با وجود ضربه بازتاب بالا در مرز آب-هوای دامنه نسبتاً کوچکی داشته و این مرز به خوبی پدیدار نخواهد شد.

اینکه نتایج حاصل از مدل اجراده تا چه اندازه با نتایج حاصل از تفسیر مقطع ژئورادرار تطابق دارند، نیازمند پردازش و تفسیر کیفی رادارگرام و درنهایت مقایسه نتایج حاصله است.

۲-۲ برداشت و پردازش داده‌ها

برداشت داده‌ها توسط گروه ژئوفیزیک شرکت مهندسین مشاور زمین‌آب‌پی، به صورت پروفیل‌زنی خطی و در منطقه‌ای به نام مشکان در حوالی شهر کاشان صورت پذیرفته است. برای برداشت داده‌ها، با توجه به عمق کم هدف مورد نظر از آتن ۲۵۰ مگاهرتز دستگاه مالا (MALA) استفاده و برای فاصله نمونه‌برداری زمانی و مکانی، همان مقادیر به کاررفته در مدل‌سازی منظور شده است. شکل ۴ مقطع ابتدایی به دست آمده از برداشت داده‌ها را نشان می‌دهد.

در لایه سطحی چندان قابل توجه نبوده و موج بازگشته بیشترین دامنه را دارد، لایه خاک خشک به خوبی در برونداد مدل نمایان شده است. در عمق $0\text{--}3$ متری یک برونداد، بازتاب‌های نسبتاً بارزی که نشان‌دهنده لایه مرطوب خاک است مشاهده می‌شود. نکته قابل توجه، حضور بازتاب‌های تکرارشونده مشخصی در فاصله ۶-۵ متری برونداد در عمق کمتر از یک متر است که به خوبی نیمه بالایی قنات و مرز خاک-هوای بالای گالری نسبت دامنه موج بازتابی از مرز خاک-هوای بالای گالری می‌توان انتظار داشت نشانه‌های این مرز با به کارگیری الگوریتم مناسب پردازشی در رادارگرام نهایی پدیدار گردد. در ناحیه خاک مرطوب بالایی قنات، حضور آب موجب تشدید پدیده میرایی گردیده و شدت دامنه موج دریافتنی را کاهش داده است. در عمق بیشتر از یک متر، پدیده غالب، میرایی است. بهویژه در ناحیه محتوی آب زیر گالری قنات عملاً سیگنالی دریافت نشده است. اگرچه اختلاف دیکتریکی بزرگی میان آب درون قنات و محیط اطراف وجود دارد، اما همان‌گونه که پیش‌تر بیان

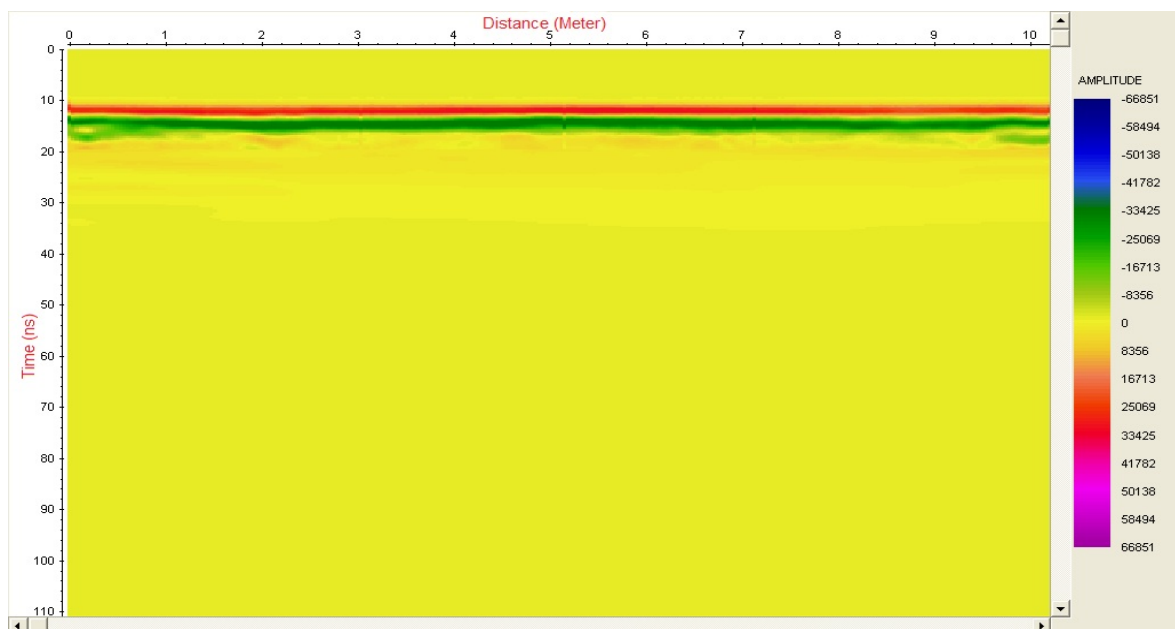


شکل ۳. برونداد حاصل شده از مدل‌سازی پیشرو.

زمین به گیرنده می‌رسند، و همچنین وجود بازتاب‌هایی که از توده‌های کم‌عمق نشست می‌گیرند، گیرنده از سیگنال اشباع می‌شود. این مسئله سبب به وجود آمدن یک زوال آهسته بسامد پایین (WOW) می‌شود. این زوال بسامد پایین بر روی بسامدهای بالاتر قرار گرفته و آنها را مغلوش می‌کند. اندازه و شدت این بسامدهای پایین به فاصله آتن‌ها و همچنین مشخصات الکتریکی زمین وابسته است. برای حذف نویفه‌های بسامد پایین معمولاً یک صافی بالاگذر بر داده‌ها اعمال می‌شود. صافی Dewow یک صافی بالاگذر بوده که برای گذراندن قله طیف سیگنال ارسالی برای بسامد مرکزی یک آتن خاص طراحی شده است. برای این کار یک پنجره زمانی تعریف شده و براساس مقدار در نظر گرفته شده برای آن بسامدهای پایین‌تر حذف می‌شوند (سنسورز و سافتور، ۱۹۹۹). مقدار منظور شده برای پنجره زمانی در این مرحله برابر با ۵ نانوثانیه است. نتیجه به کارگیری پارامترهای پردازشی فوق در رادارگرام شکل ۵ نمایش داده شده است. همان‌گونه که بیان شد در این مطالعه مرز مشترک

به هنگام برداشت داده‌ها، اگر اولین رویداد موج مستقیم که در هوا از فرستنده به گیرنده می‌رسد تغییر موقعیت دهد، جایه‌جایی صفر زمانی رخ می‌دهد. این خطای فقط باعث جایه‌جایی اولین رویداد، بلکه باعث رانش تمامی رویدادها، از جمله رویدادهای بازتابی از مکان واقعی شان می‌شود (سنسورز و سافتور، ۱۹۹۹). برای این منظور در نرم‌افزارهای GPR، یک مقدار زمینه برای تشخیص اولین رویداد به کار می‌رود که به‌واسطه آن اولین رویداد، موج مستقیم هوا را تشخیص دهدن. به خط‌شدنگی موقیت‌آمیز اولین رویداد باعث می‌شود که بازتاب‌ها در مکان واقعی شان به نمایش درآیند. بنابراین در نخستین مرحله پردازش با توجه به شکل ۴ و فاصله زمانی ایجاد شده تا پدیدارشدن دامنه سیگنال‌ها که در حدود ۱۰ نانوثانیه است، با جایه‌جایی زمانی به میزان مذکور (Static Correction) در استفاده از پارامتر تصحیح ایستا صفر زمانی رادارگرام را تصحیح می‌کنیم.

به علت فواصل زمانی کوتاه بین تپ‌های ارسالی توسط فرستنده و تپ‌هایی که به صورت مستقیم از طریق هوا و



شکل ۴. مقطع اولیه به دست آمده از برداشت داده‌های ژئورادار با آتن ۲۵۰ مگاهرتز.

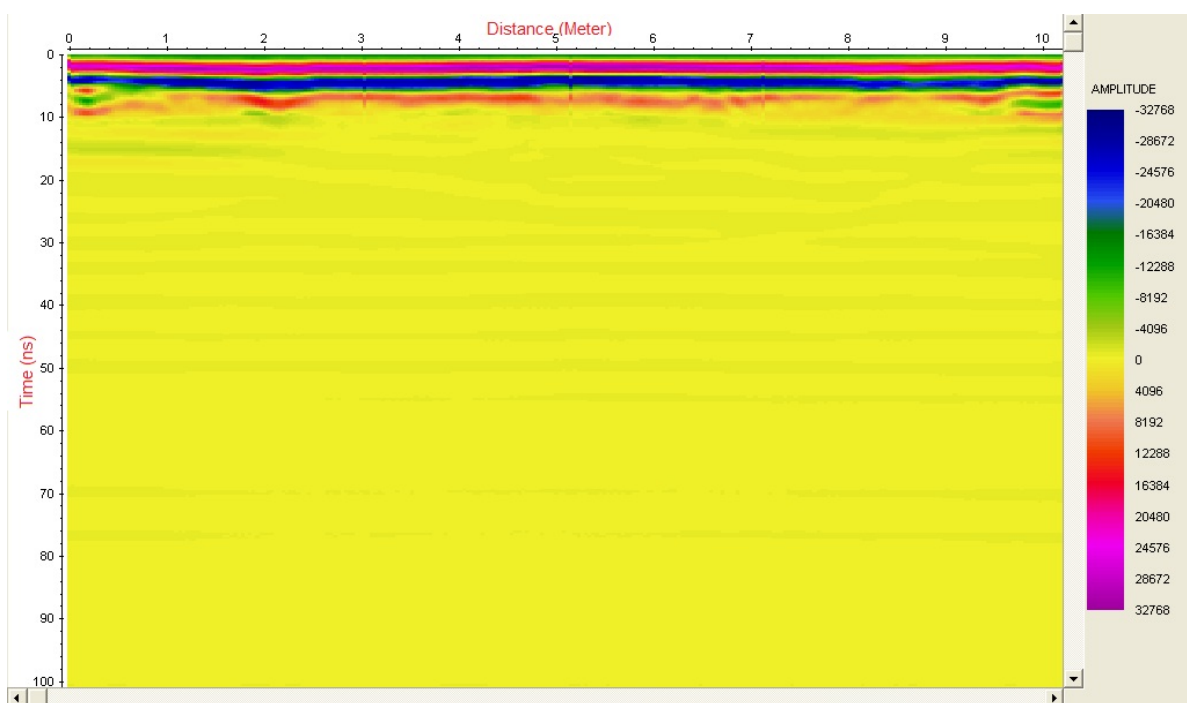
که برای بازسازی شکل بازتاب‌ها اعمال می‌گردد، می‌باشد (محمدی ویژه و کامکار روحانی، ۱۳۸۹). تابع عملگر بهره فوق با رابطه زیر تعریف می‌شود:

$$G(t) = (1+at) e^{bt}, \quad (14)$$

که a مقدار بهره خطی و b پارامتر بهره نمایی برحسب دسی‌بل بر متر، و t بیانگر متغیر مستقل زمان برحسب نانوثانیه است. عملگر بهره خطی، به میزان ثابتی که کاربر تعریف می‌کند، دامنه تمام سیگنال‌های دریافتی را افزایش می‌دهد. از آنجایی که میرایی امواج الکترومغناطیسی به صورت تابع نمایی رخ می‌دهد، تابع بهره مذکور سعی در جبران میرایی، با افزایش دامنه سیگنال‌ها در جهت مقابله میرایی دارد. بهره مورد نظر در این مرحله، با مقدار ۳ دسی‌بل بر متر برای بهره نمایی و زمان رسید ۱۰ نانوثانیه برای شروع بهره و ضریب یک برای مقدار بهره خطی، اعمال گردید.

میان محیط‌های گوناگون، توان‌های بازتاب متفاوتی دارند و هریک مقداری از سیگنال ورودی را بازتاب می‌کنند. برای حفظ اطلاعات مربوط به مرز مشترک‌ها که در برخی از کاربردها بسیار ارزشمند است، از انواع مختلف بهره که از جمله مهم‌ترین آنها بهره SEC است، استفاده می‌شود (محمدی ویژه و کامکار روحانی، ۱۳۸۹).

بنابراین مرحله بعد پردازش، استفاده از پارامتر بهره جبران گسترش خطی و نمایی است. این پارامتر پردازشی از اطلاعات مربوط به اتلاف سیگنال در محیط استفاده می‌کند. بهره SEC با توجه به محدودیت‌هایی که کاربر تعریف می‌کند و با استفاده از اطلاعات مربوط به تضعیف سیگنال ناشی از پخش هندسی و اتلاف نمایی امواج GPR در محیط برداشت، سعی در بازسازی شکل سیگنال و پاسخ‌های بازتابی دارد. در استفاده از این بهره، متغیرهایی که کاربر برای استفاده از آن در نظر می‌گیرد، بسیار اهمیت دارد. این متغیرها شامل میزان بهره خطی، بیشینه مقدار بهره و همچنین اتلاف امواج رادار در محیط



شکل ۵. مقطع داده‌های رادار پس از اعمال پارامترهای پردازشی اولیه.

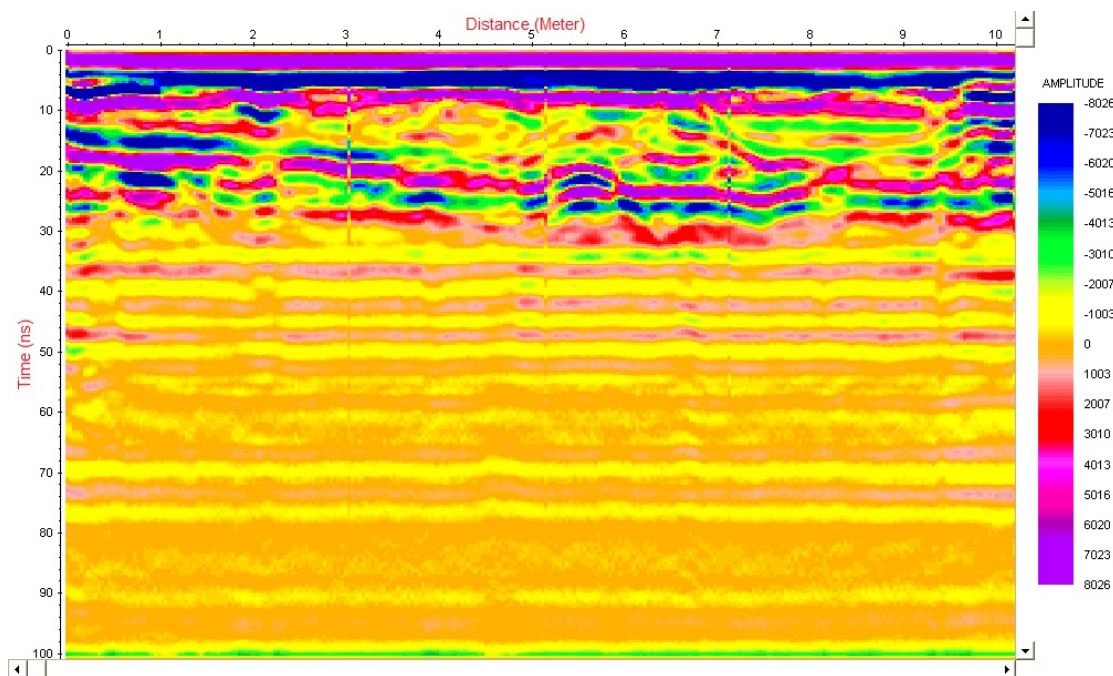
است. این صافی، براساس انتخاب و میانگین‌گیری تعداد مشخصی از ردها و کاستن رد (تریس) میانگین از بخش مورد نظر پردازشگر در راستای محورهای زمان و جابه-جایی، سعی بر تمایز کردن هدف مورد نظر و افزایش کیفیت رادارگرام دارد. طبق رابطه (۱۵)، اگر P تعدادی مشخص از سیگنال‌ها و $A_{B(z)}$ نشان‌دهنده دامنه رد میانگین باشد، آنگاه $A_{BR}(x, y, z)$ دامنه ردهای زمینه یا به عبارتی میزان نویه زمینه حذف شده از تمام سیگنال‌های انتخابی خواهد بود.

$$\begin{aligned} A_{B(z)} &= \left(\frac{1}{P}\right) \sum_i^P A_i(x, y, z) \\ &\rightarrow A_{BR}(x, y, z) = A(x, y, z) - A_{B(z)} \end{aligned} \quad . \quad (15)$$

عملگر حذف زمینه، ابتدا با میانگین‌گیری از دامنه سیگنال براساس پنجره زمانی تعریف شده توسط کاربر و تفریق دامنه سیگنال‌ها از میانگین محاسبه شده، مقدار زمینه را مشخص می‌کند. سپس این مقدار نویه از تمام سیگنال‌های موجود در ناحیه موردنظر پردازشگر برداشته

مرحله بعدی پردازش، محدود کردن پهنهای نوار بسامدی است. در حذف نویه‌های محیطی و سامان‌مند که دارای بسامدی متفاوت با بسامد سیگنال می‌باشند، معمولاً از صافی‌های حوزه بسامد استفاده می‌شود. این صافی‌ها سعی دارند یک نوار بسامدی خاص را از داده‌ها حذف کنند (سنسورز و سافتور، ۱۹۹۹). نکته شایان توجه در به کارگیری صافی‌های بسامدی، حفظ ویژگی‌های اصلی بازتاب‌های اولیه به دلیل حفظ انرژی در اطراف بسامد مرکزی آتن مورداستفاده است. معمولاً بسامدهای قطع، به گونه‌ای انتخاب می‌شوند که نوارهای بسامدی یکسانی نسبت به بسامد مرکزی ایجاد کنند (دیویس و انان، ۱۹۸۹). در پردازش مقاطع رادار، معمولاً بسامدهای قطع به صورت تقریبی از یک‌چهارم تا یک‌دوم و دو برابر تا چهار برابر بسامد مرکزی آتن اعمال می‌شوند. با انتخاب مقادیر ۷۰، ۱۳۰، ۱۶۰ و ۱۰۰۰ مگاهرتز، رادارگرام شکل ۶ حاصل خواهد شد.

درنهایت، برای افزایش کیفیت قطع به دست آمده، از صافی دو بعدی حذف زمینه (Background) استفاده شده



شکل ۶. بهبود کیفیت قطع ژئورadar پس از اعمال تابع بهره AGC و بسامد میانگذر.

$D = 0.5(30 \text{ ns} \times 0.09 \text{ m(ns)}^{-1}) = 1.35 \text{ m}$: در شکل ۷، علاوه بر محور زمان‌رسید، محور عمق و همچنین عمق نفوذ محاسبه شده و افزایش محسوس کیفیت رادارگرام در اثر به کار گیری پارامترهای پردازشی مناسب، کاملاً مشهود است.

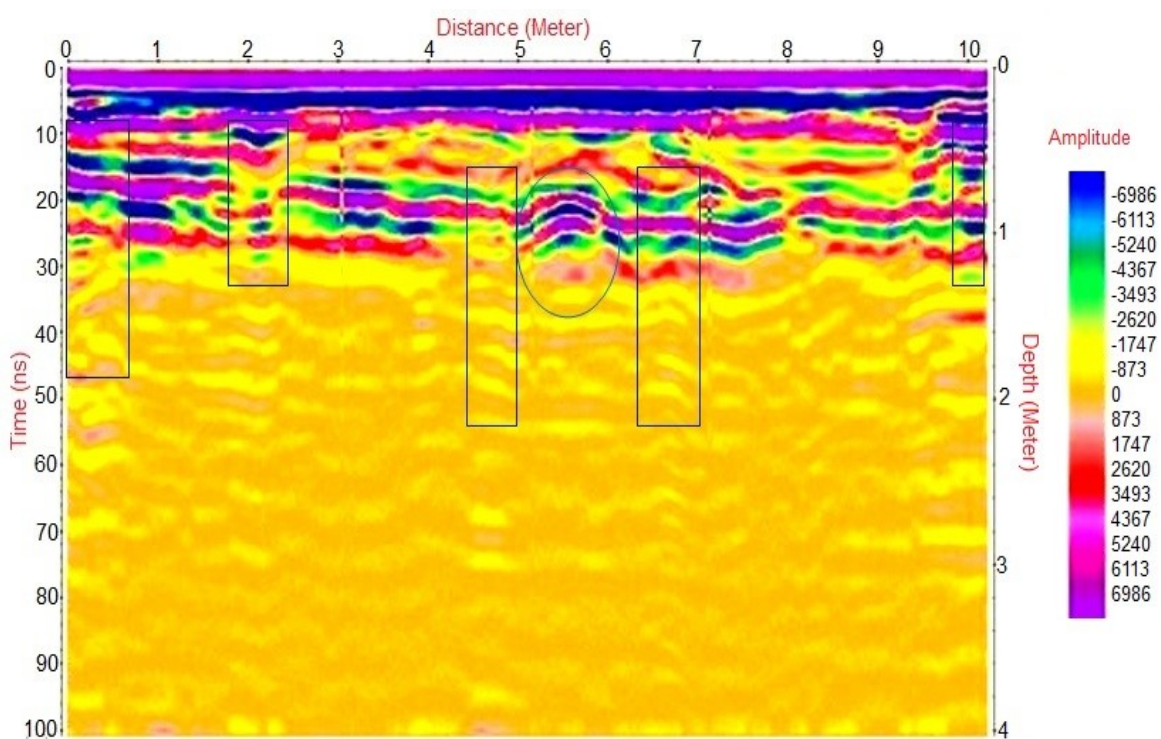
۳ تفسیر و نتیجه‌گیری

با توجه به رادارگرام پردازش شده نهایی، یک لایه با بازتاب شدید و ضخامت تقریبی $0/3$ متر، در زمان‌رسیدهای صفر تا کمتر از 10 نانوثانیه دیده می‌شود. این پدیده را می‌توان به لایه خشک سطحی نسبت داد. در عمق بیشتر از $0/3$ متر در زمان‌رسیدهای 10 تا 30 نانوثانیه یک لایه دیگر با شدت بازتاب‌های نسبتاً کمتر دیده می‌شود. حضور این پدیده را می‌توان به لایه مرطوب زیرین نسبت داد. نکته حائز اهمیت آن است که در اعماق بیش از $1/5$ متر به دلیل میرایی شدید امواج هیچ سیگنالی

می‌شود. با حذف نویه زمینه، تفکیک افقی بهتری در ردارگرام رخ خواهد داد (نیل، ۲۰۰۴). به عبارتی، اینها و خمیدگی‌های اهداف مورد نظر در مقطع نمایان تر خواهند شد. در ادامه، برای تبدیل محور زمان‌رسید به عمق و هم چنین محاسبه عمق کاوش آتن به کار گرفته شده از مقدار سرعت $0/09$ متر بر نانوثانیه، که پیش‌تر محاسبه شد، استفاده می‌کنیم. عمق کاوش یا نفوذ (D) با مشخص بودن دو عامل تعیین می‌شود. عامل اول سرعت موج در ماده (V_m) و عامل دوم زمان‌سیر موج در مسیر رفت و برمی‌گشت (T) است که از نمایش گرافیکی سیگنال‌های GPR به دست می‌آید و در این مورد با توجه به شکل ۵ تقریباً برابر با 30 نانوثانیه است. موارد فوق با رابطه زیر:

$$D = \frac{1}{2}(T V_m), \quad (16)$$

نمایش داده می‌شود که بر طبق آن عمق نفوذ برابر است با



شکل ۷. به کار گیری صافی حذف زمینه و چگونگی تأثیر آن بر رادارگرام.

این گونه نیستند. پدیدار شدن چنین نوشهای در آغاز حرکت و یا به دلیل تغییر جهت ناگهانی آتن از مسیر پروفیل زنی اتفاق رایجی است. در بسیاری از مواقع می‌توان با تکرار پروفیل زنی و همچنین در جهت‌های معکوس، اثر این نوشهای را کاهش داد.

در این مطالعه ابتدا با توجه به شرایط حاکم، یک مدل‌سازی بر اساس روش تفضیل متاهی طراحی و اجرا گردید. مقایسه نتایج به دست آمده از مدل‌سازی پیشرو و رادارگرام نهایی نشان از تطابق نسبتاً بالا و مناسبی دارد. در برونداد مدل، لایه سطحی خاک خشک با حضور بازتاب قوی لایه‌ای مشاهده می‌شود. انتظار می‌رود لایه مذکور در رادارگرام داده‌های واقعی نیز به خوبی پدیدار شود. با توجه به رادارگرام نهایی شکل ۷، لایه مذکور با همان دامنه بالای بازتابی به خوبی مشاهده می‌شود. آنچه در زمان رسیدهای بیشتر در برونداد مدل دیده می‌شود، شامل بازتاب‌های ضعیفتری در لایه زیر خاک خشک سطحی و بالای نیم‌دایره فوکانی گالری قنات، مرز خاک-هوای بالای قنات، و همچنین ناحیه مرتقب بالای قنات است. در رادارگرام نهایی، همان‌گونه که در تفسیر بیان شد، لایه مرتقب بالای گالری قنات با بازتاب‌های نسبتاً ضعیفتری و همچنین نواحی اطراف آن با دامنه‌های بازتابی نسبتاً بیشتری قابل مشاهده است. مرز خاک-هوای بالای قنات اگرچه نه به‌وضوح آنچه در مدل پدیدار گشته است، اما با اندازی دقت نمایان و قابل تشخیص است. همان‌گونه که از نتایج حاصله از برونداد مدل انتظار می‌رفت، در رادارگرام داده‌های واقعی، امکان مشاهده مرز هوای قنات-آب و یا کف قنات وجود ندارد. با توجه به دامنه بازتاب‌ها در اعماق بیشتر از $1/5$ متر و عمق نفوذ و محدوده میرایی امواج در رادارگرام نهایی، همچوایی بسیار مناسبی با محاسبات و آنچه در برونداد مدل پدیدار گشته است، وجود دارد. نکته جالب توجه، عدم پدیدار شدن نوشهای و پراش‌های نقطه‌ای در برونداد مدل است.

دریافت نشده است. با توجه به شکل بازتاب‌ها، پدیده‌ای که در فاصله ۵-۶ متری پروفیل و در عمق تقریبی ۰/۷ متری دیده می‌شود را می‌توان به مرز خاک مرتقب و هوای بالای قنات نسبت داد. در هنگام عبور آتن از روی گالری قنات، امکان وقوع پدیده پراش امواج در دیوارهای کناری وجود دارد، چراکه امواج الکترومغناطیسی به صورت یک جبهه مخروطی از آتن فرستنده گسل می‌شوند. سطح برخورد این مخروط با دیوارهای کناری گالری قنات، همانند یک بی‌هنجری نقطه‌ای منجر به رخ دادن پدیده پراش خواهد شد. از این رو پدیده‌های مشاهده شده در فواصل $4/5$ و $6/5$ متری پروفیل با توجه به موقعیت‌هاییشان نسبت به گالری قنات، به پدیده پراش نقطه‌ای نسبت داده می‌شوند. هذلولی‌های پراش که از اهداف نقطه‌ای روی سطح زمین ناشی می‌شوند، برونراند کمتری نسبت به هذلولی‌های زیرسطحی دارند. از این رو معمولاً با استفاده از تصحیح برونراند نرمال یا اصطلاحاً کوچ (Migration)، می‌توان آنها را از سایر پدیده‌ها تشخیص داد (سان و یونگ، ۱۹۹۵). در بسیاری از مواقع، نمایش پردازش فوق بر روی رادارگرام ممکن است به حذف بخشی از اطلاعات مهم در نمایش گرافیکی منجر شود، در این موقع استفاده از مهاجرت تنها جنبه تشخیصی برای تفسیر داشته و در رادارگرام نهایی نمایش داده نمی‌شود. با توجه به توضیحات فوق، پدیده مشاهده شده در فاصله حدوداً ۲ متری از ابتدای پروفیل که از زمان رسید ۱۰ نانوثانیه آغاز گردیده است، نیز می‌تواند به پراش امواج از یک توده سطحی نسبت داده شود. پدیده‌های مشخص شده در ابتدا و انتهای پروفیل که از سطح آغاز می‌شوند نشان‌دهنده حضور نوشهای تصادفی هستند. یکی از روش‌های تشخیص این نوع از نوشهای توجه به این نکته است که معمولاً در حالت نمایش داده‌ها به صورت رد به رد (wiggle mode)، این پدیده‌ها تنها بر روی تک رد قرار می‌گیرند، در حالی که بازتاب‌های واقعی

روش‌های GPR و مقاومت ویژه: یک مطالعه
موردی: مجله علوم زمین، ۱۷۰، ۸۰-۱۶۳.

- Alford, R. M., Kelly, K. R., and Boore, D. M., 1974, Accuracy of finite difference modeling of the acoustic wave equation: *Geophysics*, **39**, 834-842.
- Arft, C. M., and Knobles, A., 2004, An efficient finite-difference frequency-domain method including thin layers: *Microwave and Optical Technology Letters*, **43**(1), 40 - 44.
- Bano, M., 1996, Constant dielectric losses of ground-penetrating radar waves: *Geophys. J. Int.*, **124**, 279-288.
- Bitri, A. and Grandjean, G., 1998, Frequency-wave number modeling and migration of 2D GPR data in moderately heterogeneous dispersive media: *Geophysical Prospecting*, **46**, 287-301.
- Chen, H. W., and Huang, T. M., 1998, Finite-difference time-domain simulation of GPR data: *J. Applied Geophysics*, **40**, 139-163.
- Conyers, B. L., 2004, *Ground Penetrating Radar for Archaeology*: Altamira Press.
- Daniels, D. J., 2004: *Ground Penetrating Radar*: The Institution of Electrical Engineers Press.
- Davis, J. L., and Annan, A. P., 1989, Ground-penetrating radar for high resolution mapping of soil and rock stratigraphy: *Geophysical Prospecting*, **3**, 531-551.
- Khaidukov, V., Landa, E., and Moser, J., 2004, Diffraction imaging by focusing-defocusing: An outlook on seismic superresolution: *Geophysics*, **69**(6), 1478-1490.
- Nabighian, M. N., 1991, *Electromagnetic Methods in Applied Geophysics — Theory*, Vol. 1: SEG Publication, Tulsa, OK, 513 pp.
- Neal, A., 2004, Ground penetrating radar and its use in sedimentology: Principles, problems and progress: *Earth Science Reviews*, **66**, 261-330.
- Parasnis, D. S., 1997, *Principles of Applied Geophysics*: Chapman & Hall, London, 420 pp.
- Radzevicius, S. J., Guy, D. E., and Daniels, A. J., 2000, Pitfalls in GPR data interpretation: Differentiating stratigraphy and buried objects from periodic antennae and target effects: *Geophysics Research Letters*, **27**, 3393-3396.
- Reynolds JM (1997): *An Introduction to Applied and Environmental Geophysics*. - Wiley, pp.796.

در صورتی که، برخی از پدیده‌های رادارگرام داده‌های واقعی به عنوان نوفه و پراش شناسایی شدن. همچنین با توجه به درنظرنگرفتن فاصله آنتن‌ها از هم و از سطح زمین در طراحی مدل، جایه‌جایی صفر زمانی رخداده در رادارگرام خام شکل ۴ در برونداد مدل پدیدار نگشت. لازم به ذکر است که گالری قنات موردنظر در عمق نسبتاً کمی واقع گردیده و مظہر قنات در فاصله کمتر از دو متري محل پروفیل قابل مشاهده است و برای اطمینان بیشتر، عمق گالری قنات به وسیله یک سوندazer یک متري اندازه‌گیری شد. از این‌رو در صحت محل به دست آمده گالری قنات با توجه به مظہر آن تردیدی نیست. می‌توان گفت نتایج حاصل از این پژوهش، توانایی روش GPR و سودمندی مدل‌سازی پیشرو در مکان‌یابی قنات و مطالعات مشابه را ثابت کرد. اما با این حال، پیشنهاد می‌شود در مطالعه و اکتشاف قنات‌ها، در کنار روش GPR از دیگر روش‌های مکمل ژئوفیزیکی هم استفاده شود.

منابع

- اسحاقی، ا.، کامکار روحانی، ا.، و عرب‌امیری، ع.، ۱۳۹۲، مقایسه و تلفیق نتایج پردازش، مدل‌سازی و تفسیر داده‌های توموگرافی الکترونیکی و GPR برای شناسایی اهداف و ساختارهای زیرسطحی کم‌ژرفای: *محله علوم زمین*، **۹۲**، ۳-۱۰.
- کامکار روحانی، ا.، اسحاقی، ا.، و عرب‌امیری، ع.، ۱۳۹۱، پردازش و تفسیر داده‌های رادار نفوذی به زمین (GPR) به منظور شناسایی حفره‌های زیرسطحی و بررسی لایه‌بندی، دانه‌بندی و برآورد میزان رس در رسویات زیرسطحی کم‌عمق: *مجله فیزیک زمین و فضا*، **۳۸**(۴)، ۱۵۵-۱۷۳.
- محمدی ویژه، م.، و کامکار روحانی، ا.، ۱۳۸۹، بررسی ساختارهای مدفون نزدیک سطح زمین با استفاده از

- Companion book: Dielectric materials and applications, pp. 276–277.
- Tzanis, A., 2010, MatGPR Release 2: A freeware MATLAB package for the analysis & interpretation of common and single offset GPR data: Fast Times, **15**(1), 17–43.
- Zeng, X., McMechan, G. A., 1997, GPR characterization of buried tanks and pipes: Geophysics, **62**, 798–806.
- Reflexw Project: for the processing of seismic, acoustic or electromagnetic reflection, refraction and transmission data
www.sandmeier-geo.de
- Sun, J., and Young, R. A., 1995, Recognizing surface scattering in ground-penetrating radar data: Geophysics, **60**, 1378–1385.
- Sensors and software, 1999, Ground Penetrating Radar Survey Design.
- Sensors and software, 1999, Pulse EKKO 100 RUN User's Guide, Version 1.2.
- Sensors and software, 1999, Win_EKKO User's Guide, Version 1.0.
- Van Overmeeren, R. A., 1994, Georadar for hydrogeology: First Break, **8**, 401–408
- Von Hippel, A. R., 1954, Dielectric and Waves: Chapman & Hall, Wiley, New York, 284 pp.